

## آسیب‌شناسی اثرات فاز محلول نفت خام بر بافت آبتشش بچه ماهی سفید دریای خزر (*Rutilus frisii kutum*) در شرایط آزمایشگاهی

عیسی شریف پور<sup>(۱)\*</sup>; بهروز ابطحی<sup>(۲)</sup>; فاطمه حیدری جامع بزرگی<sup>(۳)</sup>

جعفر سیف‌آبادی<sup>(۴)</sup> و زهرا تقی‌زاده رحمت‌آبادی<sup>(۵)</sup>

isharifpour@yahoo.com

۱- موسسه تحقیقات شیلات ایران، تهران صندوق پستی: ۱۴۱۵۵-۶۱۱۶

۲- دانشکده علوم زیستی، دانشگاه شهید بهشتی، تهران

۴ و ۵- دانشکده منابع طبیعی و علوم دریایی دانشگاه تربیت مدرس، نور صندوق پستی: ۴۶۴۱۴-۳۵۶

تاریخ پذیرش: بهمن ۱۳۸۹

تاریخ دریافت: بهمن ۱۳۸۸

### چکیده

هدف از این تحقیق، بررسی تأثیر سمیت فاز محلول نفت خام بر بافت آبتشش بچه ماهی سفید دریای خزر و بررسی ضایعات بافتی ناشی از غلظت  $LC_{50}$  این محلول در مدت ۹۶ ساعت می‌باشد. بدین منظور بچه ماهیان به وزن ۱ تا ۲ گرم در تابستان ۱۳۸۷ از کارگاه تکثیر و پرورش ماهی کلمه گرگان صید و بمنظور سازگاری با شرایط آزمایشگاهی به مدت ۸ روز در تانکهای ۳۰۰ لیتری حاوی آب کلرزدایی شده شهری نگهداری شدند. سپس برای بدست آوردن  $LC_{50}$  ۹۶ ساعت، ۶ غلظت از فاز محلول نفت خام (۲۷، ۲۹/۲۵، ۳۱/۵، ۳۳/۷۵، ۳۶ و ۳۸/۲۵ قسمت در میلیون) غلظت‌سازی شده و به هر آکواریوم ۱۰ عدد بچه ماهی به مدت ۹۶ ساعت معرفی گردید. با توجه به میزان مرگ و میر بچه ماهیان در ۹۶ ساعت و با استفاده از آنالیز آماری Probit value  $LC_{50}$  ۹۶ ساعت، ۳۳/۹۵ قسمت در میلیون محاسبه گردید. ۲ غلظت  $LC_{50}$  و  $0/۰۱ LC_{50}$  آماده‌سازی شدند. بعد از ۲۴ و ۹۶ ساعت از هر آکواریوم ۳ عدد ماهی برای انجام آزمایشات بافت‌شناسی در محلول بوئن ثبیت شدند. از بافت آبتشش برش‌های ۳ میکرونی تهیه، با هماتوکسیلین-ائوزین رنگ‌آمیزی و بوسیله میکروسکوپ نوری مورد بررسی قرار گرفتند. آسیب‌های عمومی مشاهده شده شامل جدا شدن اپیتیلیال از غشاء پایه تیغه‌های آبتشی، پرخونی در رشته و تیغه‌های آبتشی، آنیوریسم، چمامی شدن انها تیغه‌ها، هایپرتروفی سلولهای اپیتیلیال تیغه‌ها، هایپرپلازی بین تیغه‌ها و چسبندگی تیغه‌های آبتشی بود. مطالعات آسیب‌شناسی نشان می‌دهد که فاز محلول در آب نفت خام سبب آسیب‌های جدی به بافت آبتشش در بچه ماهی سفید می‌شود و با اختلال در عملکرد این اندام سبب بر هم خوردن هموستازی بدن ماهی می‌شود.

**لغات کلیدی:** بافت‌شناسی، فاز محلول نفت خام، آبتشش، ماهی سفید، دریای خزر

\* نو سندۀ مسئله ا،

## مقدمه

از خانواده کپور ماهیان، از جمله مهمترین ماهیان استخوانی اقتصادی سواحل و رودخانه‌های حاشیه جنوبی دریای خزر می‌باشد که ذخایر آن بدیل صید بیش از حد مجاز در معرض خطر قرار گرفته است. به منظور بازسازی ذخایر این ماهی سالانه بیش از ۲۰۰ میلیون عدد بچه ماهی ۱ تا ۲ گرمی توسط سازمان شیلات ایران در مراکز تکثیر و پرورش تولید و به رودخانه‌ها رهاسازی می‌شوند (Heyrati *et al.*, 2007; Dede & Kaglo, 2001; Rudolph *et al.*, 2001; Simonato *et al.*, 2008; Akaishi *et al.*, 2004). تحقیقی درخصوص تأثیر آلودگی فاز محلول نفت خام بر ماهیان در شرایط آزمایشگاهی، معمولاً با تعیین LC<sub>50</sub> و میزان تأثیرات نفتی (هیدروکربن‌ها) از مهمترین آلاینده‌های محیط‌های آبی محسوب می‌شوند (Pacheco & Santos, 2001) که می‌توانند بدیل سمتی و تجمع در بافت‌های بدن آبزیان، مشکلات عمدی ایجاد کنند. اثر هیدروکربن‌های نفتی بر ماهیان در شرایط آزمایشگاهی، معمولاً با تعیین LC<sub>50</sub> و میزان بقای موجود زنده در معرض آلاینده و نیز با بررسی تغییرات و ناهنجاری‌های پدید آمده در یک یا چند بافت از بافت‌های حیاتی ماهیان مانند آبشش، کبد، طحال یا کلیه انجام گرفته که هر کدام از جنبه‌ای ضایعات حاصله را مورد بررسی قرار می‌دهند (Dede & Kaglo, 2001; Altinok & Capkin, 2007; Nero *et al.*, 2006). مطالعات آسيب‌شناسي بافتی (histopathology) ماهیان قرار گرفته در معرض آلودگی، یکی از روش‌های کاربردی و معمول تعیین اثرات آلاینده بر موجود زنده می‌باشد که به درک واکنش‌های بیولوژیک رخ داده کمک می‌کند (Martinez, Silva & Schwaiger *et al.*, 1997) و یکی از مزایای استفاده از شاخص‌های آن، مطالعه و بررسی اختصاصی اثرات آلاینده بر اندامهای هدف خاص مثل آبشش، کلیه و کبد می‌باشد که مسئول اعمال حیاتی مثل تنفس، دفع، تجمع و نقل و انتقال ترکیبات ضد حیات (Xenobiotic) در ماهی می‌باشند (Gernhofer *et al.*, 2001) و در اثر مواجه با آلاینده‌های محیطی دچار آسيب‌های حاد و اغلب جبران‌ناپذیر می‌شوند. از بین اندامهای حیاتی ماهیان، آبشش‌ها اهمیت زیادی در تنفس، تنظیم اسمزی، تعادل اسید-آلودگی و دفع نیتروژن زائد در ماهیان دارند (Simonato *et al.*, 2008). از آنجا که آبشش‌ها مهمترین جایگاه تبادلات یونی بین بدن و محیط بشار می‌روند (Evans, 1993)، نقش مهمی در ثابت نگهداشتن ترکیب یونی درون بدن بخصوص در مواجه با محیط‌های آلوده دارند (Evans *et al.*, 2005). از آنجا که سطح وسیعی از این بافت در ارتباط مستقیم با محیط خارجی است، بنابراین مورفولوژی آن مفیدترین ابزار در بررسی تأثیر آلاینده‌های محیطی بر جانور بوده (Schwaiger *et al.*, 1997) و تغییر در ساختار این اندام بعنوان اصلی‌ترین پاسخ در مقابل استرس‌های شیمیایی مطرح می‌باشد. ماهی سفید (*Rutilus frisii kutum*) (Rutile, 1997).

## مواد و روش کار

تعداد ۸۰۰ بچه ماهی سفید به وزن ۱ تا ۲ گرم در تیر ماه ۱۳۸۷ از مرکز تکثیر و پرورش ماهی کلمه گرگان صید و بلافاراصله به آزمایشگاه آبزیان دانشکده علوم زیستی دانشگاه شهید بهشتی منتقل گردیدند و به مدت ۸ روز با شرایط آزمایشگاه در آب هوادی شده شهری سازش داده شدند. فاز محلول نفت خام نیز طبق روش Anderson و همکاران (۱۹۷۴) بدست آمد. یک بخش از نفت خام با ۹ بخش از آب فیلتر شده در ظرف مخصوصی، به مدت ۲۳ ساعت بوسیله دستگاه شیکر مخلوط شدند و به مدت ۱ ساعت صورت ساکن قرار داده شدند تا فاز محلول آن جدا شود. بخش زیرین که همان فاز محلول نفت خام (WSF) (Water-soluble fraction) استخراج و جداسازی گردید و بعنوان محلول مادر در آزمایش‌ها مورد

آلاینده‌ها کیفیت آب را تغییر می‌دهند و سبب بروز مشکلات بسیاری مانند انواع بیماریها و تغییرات ساختاری در ماهیان می‌شوند (Chang *et al.*, 1998). از میان انواع مختلف آلودگی‌ها، مشتقات نفتی (هیدروکربن‌ها) از مهمترین آلاینده‌های محیط‌های آبی محسوب می‌شوند (Pacheco & Santos, 2001) که می‌توانند بدیل سمتی و تجمع در بافت‌های بدن آبزیان، مشکلات عمدی ایجاد کنند. اثر هیدروکربن‌های نفتی بر ماهیان در شرایط آزمایشگاهی، معمولاً با تعیین LC<sub>50</sub> و میزان بقای موجود زنده در معرض آلاینده و نیز با بررسی تغییرات و ناهنجاری‌های پدید آمده در یک یا چند بافت از بافت‌های حیاتی ماهیان مانند آبشش، کبد، طحال یا کلیه انجام گرفته که هر کدام از جنبه‌ای ضایعات حاصله را مورد بررسی قرار می‌دهند (Altinok & Capkin, 2007). مطالعات آسيب‌شناسي بافتی (histopathology) ماهیان قرار گرفته در معرض آلودگی، یکی از روش‌های کاربردی و معمول تعیین اثرات آلاینده بر موجود زنده می‌باشد که به درک واکنش‌های بیولوژیک رخ داده کمک می‌کند (Martinez, Silva & Schwaiger *et al.*, 1997) و یکی از مزایای استفاده از شاخص‌های آن، مطالعه و بررسی اختصاصی اثرات آلاینده بر اندامهای هدف خاص مثل آبشش، کلیه و کبد می‌باشد که مسئول اعمال حیاتی مثل تنفس، دفع، تجمع و نقل و انتقال ترکیبات ضد حیات (Xenobiotic) در ماهی می‌باشند (Gernhofer *et al.*, 2001) و در اثر مواجه با آلاینده‌های محیطی دچار آسيب‌های حاد و اغلب جبران‌ناپذیر می‌شوند. از بین اندامهای حیاتی ماهیان، آبشش‌ها اهمیت زیادی در تنفس، تنظیم اسمزی، تعادل اسید-آلودگی و دفع نیتروژن زائد در ماهیان دارند (Evans, 1993)، نقش مهمی در بدن و محیط بشار می‌روند (Evans *et al.*, 2005). از آنجا که سطح وسیعی از این بافت در ارتباط مستقیم با محیط خارجی است، بنابراین مورفولوژی آن مفیدترین ابزار در بررسی تأثیر آلاینده‌های محیطی بر جانور بوده (Schwaiger *et al.*, 1997) و تغییر در ساختار این اندام بعنوان اصلی‌ترین پاسخ در مقابل استرس‌های شیمیایی مطرح می‌باشد. ماهی سفید (*Rutilus frisii kutum*) (Rutile, 1997).

شد. بعد از گذشت ۷۲، ۴۸، ۲۴ و ۹۶ ساعت از هر تیمار در هر سه تکرار نمونه برداری شد. سپس نمونه های جداسازی شده، در محلول تشییت کننده بوئن برای انجام آزمایشات بافت شناسی تشییت شدند. ویژگی های آب شامل هدایت الکتریکی،  $\text{pH}$ ، اکسیژن محلول و کلر در اول و میانه دوره و دما روزانه دو بار اندازه گیری شدند. آزمایشات بافت شناسی در آزمایشگاه دانشکده علوم دریایی و منابع طبیعی دانشگاه تربیت مدرس انجام شد، بدین ترتیب که تعداد ۳۰ عدد بچه ماهی سفید با طولی معادل ۴ تا ۶ سانتیمتر و وزنی در حدود ۱ تا ۲ گرم از گروه های شاهد و تیمار های  $LC_{50} = 0/1$  و  $LC_{50} = 40/5$  بطور کامل در بوئن تشییت شده و سپس برای آبگیری در اتابول ۷۰ درصد قرار داده شدند. مراحل آبگیری با استفاده از الکل های ۹۰ و ۱۰۰ درصد و نهایتاً با الکل بوتیلیک (۱۲ ساعت) انجام گرفت. سپس نمونه ها با استفاده از گزیلین شفاف سازی شده و به مدت ۱۲ ساعت در پارافین مایع (آون با دمای حدود ۶۰ درجه سانتی گراد) نگهداری شدند. نمونه های آماده شده قالب گیری شده و با استفاده از میکروتوم دوار برش های ۳ میکرومتری تهیه گردید. برشها بر روی لام چسبانده شده، در آون در دمای ۳۷ درجه سانتی گراد نگهداری شدند. لام ها بعد از پارافین زدایی و آبگیری، با استفاده از هماتوکسیلین و ائوزین رنگ آمیزی شده و با میکروسکوپ نوری مورد مطالعه قرار گرفتند (Khodabandeh *et al.*, 2006; Roberts, 2001). برای مقایسه داده های بدست آمده از اندازه گیری قطر رشته و تیغه های آبششی، در تیمار های مختلف و تعیین معنی دار بودن تفاوت میان تیمار ها، ابتدا به منظور تعیین نرمال بودن داده ها از آزمون Shapiro-Wilk استفاده گردید، سپس از آزمون t-test هریک از تیمار ها با نمونه شاهد سنجیده و مورد آزمون قرار گرفتند سپس به منظور مقایسه کلیه تیمار ها و معنی دار بودن تفاوت میان آنها از آزمون one-way ANOVA و تست Tukey استفاده شد. کلیه این آزمونها با استفاده از نرم افزار SPSS نسخه ۱۶ انجام گرفت.

## نتایج

میانگین تعداد مرگ و میر در غلظت های مختلف آزمایش تعیین به روش نیمه استاتیک در زمانهای ۷۲، ۴۸، ۲۴ و ۹۶ ساعت در جدول ۱ آورده شده است. با استفاده از روش آماری پروفیت ولیو (Probit value) در نرم افزار SPSS نسخه ۱۶ اعداد بدست آمده از آزمایش، تحلیل و میزان  $LC_{50}$  نفت خام مورد استفاده روی افراد انگشت قد ماهی سفید در روش نیمه

استفاده قرار گرفت. به منظور اندازه گیری محدوده کشنده گی فاز محلول نفت خام بر بچه ماهی سفید، برای یافتن ۲ غلظت از سم (یکی بیشترین غلظتی که هیچ مرگ و میری در بین نمونه ها ایجاد نکند و دیگری کمترین غلظتی که باعث مرگ و میر ۱۰۰ درصد نمونه ها شود) ۱۱ غلظت به همراه ۳ شاهد استفاده شد (OECD Council, 1992). غلظت های مورد استفاده فاز محلول نفت خام بر حسب تصاعد حسابی: ۰/۴۵، ۰/۴، ۱/۳/۵، ۴/۵، ۹/۴، ۲/۲/۵، ۳/۱/۵، ۲/۲، ۴۰/۵، ۳۶، ۴۵ قسمت در میلیون (ppm) بود. برای اطمینان بیشتر و نتیجه گیری دقیق تر، بین غلظت های ۳۶ و ۴۰/۵ هم غلظت سازی انجام و مورد آزمایش قرار گرفت که میزان مرگ و میر در غلظت ۳۸/۲۵ ppm صد درصد بود لذا بطور کلی می توان گفت که در غلظت ۳۸/۲۵ ppm هیچ مرگ و میری مشاهده نشد و در غلظت ۳۸/۲۵ میزان مرگ و میر ۱۰۰ درصد بود. سپس برای تعیین میزان سمیت حد نفت خام بر ماهی سفید از آزمایش  $LC_{50}$ ، به روش نیمه پایدار (Semi-static) استفاده شد. شش آکواریوم با ابعاد  $40 \times 30 \times 20$  cm<sup>3</sup> و در هر یک ۲۰ لیتر محلول WSF با غلظت های ۳۶، ۳۸/۲۵، ۳۱/۵، ۳۲/۷۵، ۲۹/۲۵ و ۲۷ میلی گرم در لیتر و در آخرین آکواریوم آب معمولی شهری کلرزدایی شده عنوان گروه شاهد ریخته شد، این مرحله از آزمایش با ۳ تکرار انجام گرفت. در طول آزمایش همه آکواریوم ها هواده هی شده و دما در بازه ۱۷ تا ۱۸ درجه سانتی گراد نگه داشته شد. به هر آکواریوم ۱۰ عدد ماهی اضافه شد. محلول WSF آکواریوم ها هر ۲۴ ساعت با محلول هم غلظت تازه جایگزین شد. در هر بار جایگزین کردن محلول آکواریوم ها، ماهی های مرده نیز از داخل آکواریوم برداشته و شمرده شدند. بعد از ۹۶ ساعت تعداد کل ماهی های مرده هر آکواریوم مشخص گردید. در انتهای با استفاده از اعداد بدست آمده و به کارگیری نرم افزار SPSS (نسخه ۱۶)، مقدار  $LC_{50}$  به روش Probit value محاسبه گردید (Finney, 1987). تعداد ۹ آکواریوم با ابعاد  $40 \times 30 \times 20$  cm<sup>3</sup> در هر یک بترتیب ۲۰ لیتر محلول WSF با غلظت های معادل  $LC_{50} = 0/1$  و  $LC_{50} = 40/5$  محاسبه شده به روش نیمه پایدار و آب معمولی به عنوان گروه شاهد ریخته شد. آب موجود در آکواریوم ها، قبل از وارد نمودن بچه ماهی ها به آنها به مدت ۲۴ ساعت هواده هی شد تا کلرزدایی گردد. این مرحله نیز با ۳ تکرار انجام گرفت چنانچه سه آکواریوم به عنوان شاهد، در سه آکواریوم  $LC_{50} = 96$  ساعت و در سه آکواریوم دیگر  $LC_{50} = 1/1$  (Walker *et al.*, 1996) غلظت سازی شدند. در هر یک از آکواریوم ها ۱۰ بچه ماهی قرار داده و هر ۲۴ ساعت یکبار محلول آکواریوم ها با محلول هم غلظت جایگزین

آيششي گستره مي باشد (شك1-الف). در هر طرف کمان آيششي، رشته‌های آيششي (Filaments) گستره هستند، خارهای آيششي (Gill Raker) توسعه يافته و روی کمانها به سمت حفره دهاني قرار گرفته‌اند (شك1-ب). بررسی آيشش بچه ماهايان شاهد نشان داد که ضایعات بافتی در آنها دیده نمی‌شود. بافت‌شناسي نمونه‌های قرار گرفته در تيمار LC<sub>50</sub> ۰/۱ پس از ۲۴ ساعت نشان داد که ساختار کلى بافت آيشش همانند گروه شاهد است، اما درصد کمی از تيغه‌های آيششي آسيب دیده‌اند که از آسيبهای مشاهده شده می‌توان به تورم و جadasدن اپيتيلياز از غشاء پايه (شك2-الف)، برهم خوردن ساختار سلولهای پيلار و پرخونی جرئي درون تيغه‌های آيششي (شك2-ب) اشاره کرد. بافت‌شناسي نمونه‌های قرار گرفته در تيمار LC<sub>50</sub> ۰/۱ پس از ۹۶ ساعت نشان داد که در اين تيمار آسيبها تا حدی افزایش يافته بود. جدا شدن اپيتيلياز غشاء پايه در تعداد بيشتری از تيغه‌های آيششي مشاهده گردید (شك2-ج). پرخونی نيز در تعداد بيشتری از تيغه‌های آيششي به خوبی قابل روئيت بود. هيپرپلازي در رشته‌ها و تيغه‌های آيششي از ديجر ضایعات مشاهده شده در افراد اين گروه بود (شك2-د). بافت‌شناسي نمونه‌های قرار گرفته در تيمار LC<sub>50</sub> ۰/۱ پس از ۲۴ ساعت نشان داد که آسيبها در اين تيمار شدت يافته است. آنوريسم به وضوح در تيغه‌های آيششي قابل مشاهده مي‌باشد (شك2-الف). تورم و جadasدن اپيتيلياز از غشاء پايه در سطح وسعي از تيغه‌های آيششي مشاهده شد، همچنان هيپرپلازي سلولهای اپي تيلياز در پايه تيغه‌های آيششي نيز مشاهده شد (شك2-ب). بافت‌شناسي نمونه‌های قرار گرفته در تيمار LC<sub>50</sub> ۰/۱ پس از ۹۶ ساعت نشان داد در اين تيمار تيغه‌های آيششي در بيشتر قسمتها تغيير شكل داده بودند، به گونه‌ای که ساختار سلولهای پيلار از بين رفته و جمع شدن خون در رگهای خونی تيغه‌های آيششي (آنوريسم) در سطح وسعي از تيغه‌های آيششي مشاهده شد (شك2-ج و 2-د)، خيز و جadasدن اپيتيلياز غشا پايه سلولهای اپيتيلياز براحتي قابل مشاهده بود (شك2-ه). سلولهای اپيتيليوسي دچار هيپرتروفي شده بودند. فاصله بين تيغه‌های آيششي در اکثر قسمتها از بين رفته و تيغه‌ها روی هم قرار گرفته بودند (شك2-و). با انجام آزمون Independent t-test غيرجفتی و مقایسه داده‌های حاصل از اندازه‌گيري قطر رشته آيششي با استفاده از نرمافزار Image tool، معنی‌داری اختلاف بين تيمارها با گروه شاهد مشخص شد. در آزمون t قطر رشته آيششي بين گروه شاهد و تيمار LC<sub>50</sub> ۰/۱ ساعت ۲۴ و p=۰/۴۶ محاسبه شد. در نتيجه اختلاف معنی‌داری بين دو تيمار وجود نداشت (P>0/05).

پايدار در زمانهای ۲۴، ۴۸، ۷۲ و ۹۶ ساعت و حدود اطمینان بالا و پاين آن در جدول ۲ آمده است.

جدول ۱: ميانگين ( $\pm$  انحراف استاندارد) تعداد مرگ و مير حاصل از WSF در روش نيمه پايدار

غلظت (ppm)	مرگ و مير در ۲۴ ساعت	مرگ و مير در ۴۸ ساعت	مرگ و مير در ۷۲ ساعت	مرگ و مير در ۹۶ ساعت
۲۷	----	----	----	----
۲۹/۲۵	۰/۶۷±۰/۵۷	۰/۶۷±۰/۵۷	----	----
۳۱/۵	۲±۰	۱/۶۷±۰/۵۷	۰/۳۳±۰/۵۷	----
۳۳/۷۵	۴/۳۳±۰/۵۷	۳/۳۳±۰/۵۷	۳/۳۳±۰/۵۷	۱/۳۳±۰/۵۷
۳۶	۷±۰	۶±۰	۴/۶۹±۰/۵۷	۲±۰
۳۸/۲۵	۱۰±۰	۹±۰	۷/۳۳±۰/۵۷	۴/۳۳±۰/۵۷

جدول ۲: ميزان LC<sub>50</sub> و حدود بالا و پاين اطمینان (ppm)

زمان (ساعت)	حد بالا اطمینان	حد پاين اطمینان	LC <sub>50</sub>
۲۴	۳۶/۸۷	۴۷/۱۷	۳۸/۷۲
۴۸	۳۴/۷۵	۳۸/۰۶	۳۶/۰۸
۷۲	۳۳/۴۶	۳۶/۴۸	۳۴/۷۹
۹۶	۳۲/۷۲	۳۵/۲۹	۳۳/۹۵

در تيمار شاهد و تيمار با غلظت ۰/۱ LC<sub>50</sub> در طول ۹۶ ساعت دوره آزمایش، مرگ و مير مشاهده نگردید اما در تيمار LC<sub>50</sub> پس از ۲۴ ساعت از ۱۰ ماهی درون هر آکواريوم بطور ميانگين ۲ ماهی و پس از گذشت ۹۶ ساعت بطور ميانگين ۵ ماهی تلف شدند (جدول ۳).

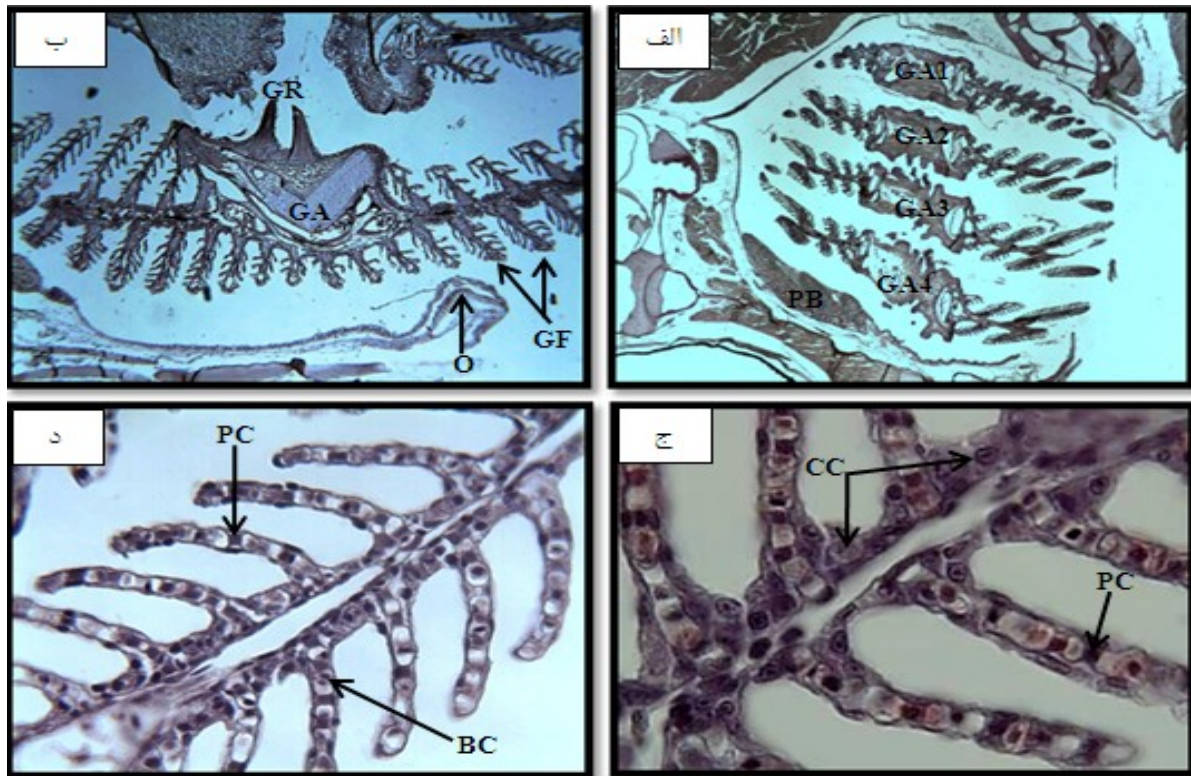
جدول ۳: ميزان ميانگين ( $\pm$  انحراف استاندارد) مرگ و مير در آزمایشات LC<sub>50</sub>

غلظت (ppm)	WSF	مرگ و مير در ۲۴ ساعت	تعداد	مرگ و مير در ۹۶ ساعت
۰	۱۰	----	----	----
۳/۳۹	۱۰	----	----	----
۳۳/۹۴۵	۱۰	۱/۶۶±۰/۵۷	۴/۶۶±۰/۵۷	۱/۶۶±۰/۵۷

در بچه ماهايان گروه شاهد، آيشش ساختار طبیعی خود را داشته و تيغه‌های آيششي بطور منظم در اطراف رشته‌های آيششي پراکنده بودند. در محوطه آيششي در بچه ماهايان سفيد علاوه بر ۴ کمان آيششي، یك آيشش کاذب در راستاي کمانهاي

بین گروه شاهد و تیمار  $LC_{50}$  ۲۴ ساعت و ۱  $P_{=0/0}$  محاسبه شد در نتیجه اختلاف معنی‌داری بین دو تیمار وجود دارد ( $P<0/05$ ).

در آزمون  $t$  قطر رشته آبششی بین گروه شاهد و تیمار ۱  $LC_{50}$  ۰/۰۵ ساعت و  $P_{=0/02}$  محاسبه شد ( $P<0/05$ ) در نتیجه اختلاف معنی‌داری بین دو تیمار وجود دارد. در آزمون  $t$  قطر رشته آبششی

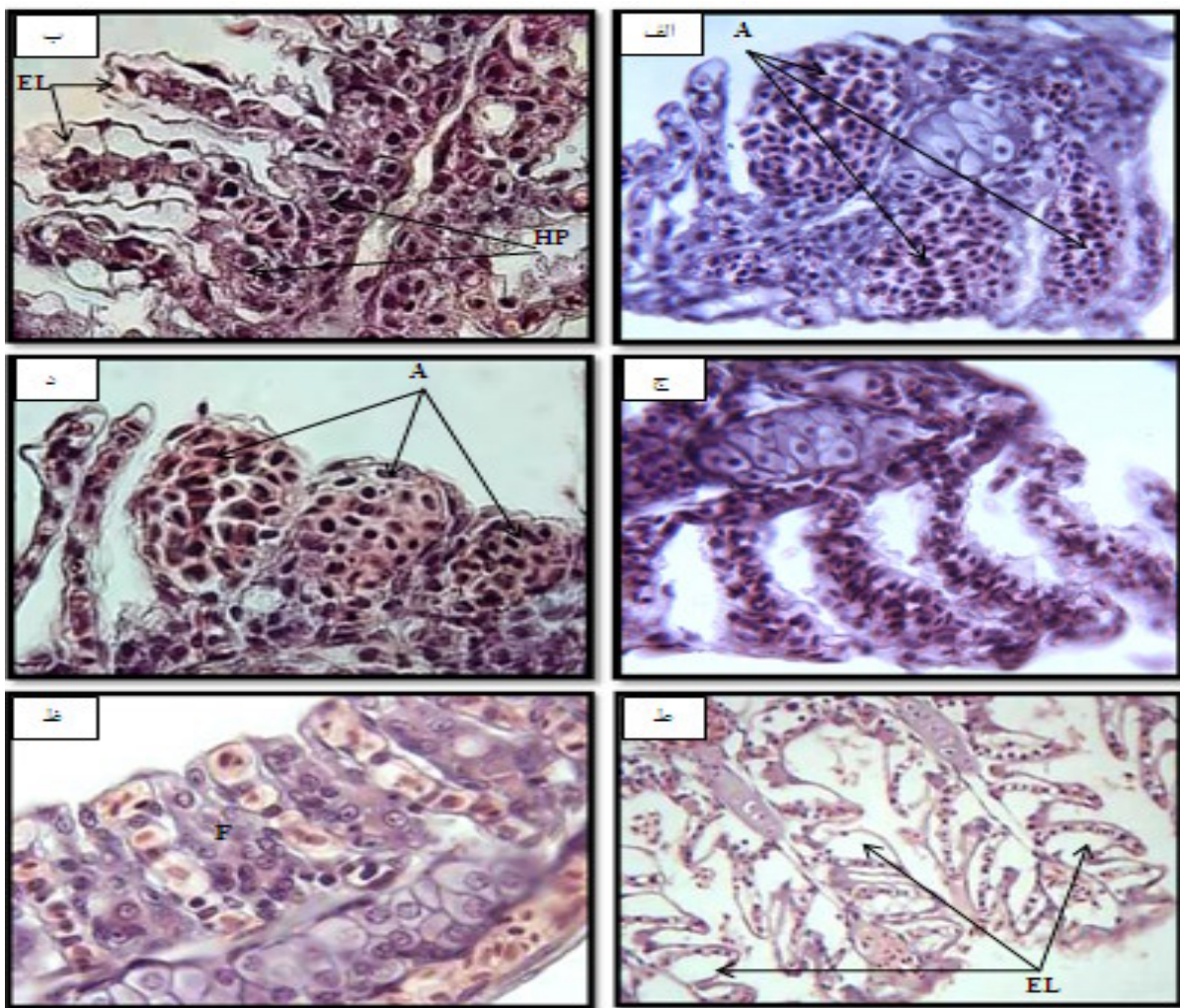


شکل ۱: بافت‌شناسی آبشش گروه شاهد بچه ماهیان سفید دریای خزر

الف: برش طولی از کمانهای آبششی (GA): موقعیت آبشش کاذب (PB) نسبت به کمانها به خوبی قابل مشاهده می‌باشد (H & E, ob. ۴)

ب: بخشی از کمان آبششی: موقعیت خارها (GR)، رشته‌های آبششی (GF) و سرپوش آبششی (O) بر روی کمانها به خوبی مشخص است (H & E, ob. ۱۰)

ج و د: ساختار کلی رشته آبششی در یک ماهی شاهد: تیغه‌های آبششی بصورت منظم در دو سمت رشته آبششی قرار گرفته‌اند و اپی‌تلیوم روی آنها را پوشانده است. سلولهای کلراید (CC)، پیلار (PC) و خونی (BC) دیده می‌شوند (H & E, ob. ۱۰۰)



شکل ۳: بافت‌شناسی آبشنش بچه ماهیان سفید تیمار  $LC_{50}$

الف: بافت آبشنش نمونه تیمار با غلظت  $LC_{50}$  به مدت ۲۴ ساعت: در این تصویر آنیوریسم یا اتساع عروق (A) درون تیغه‌های آبشنشی که در نتیجه پرخونی شدید می‌باشد، قابل مشاهده است. (H & E, ob. ۱۰۰)

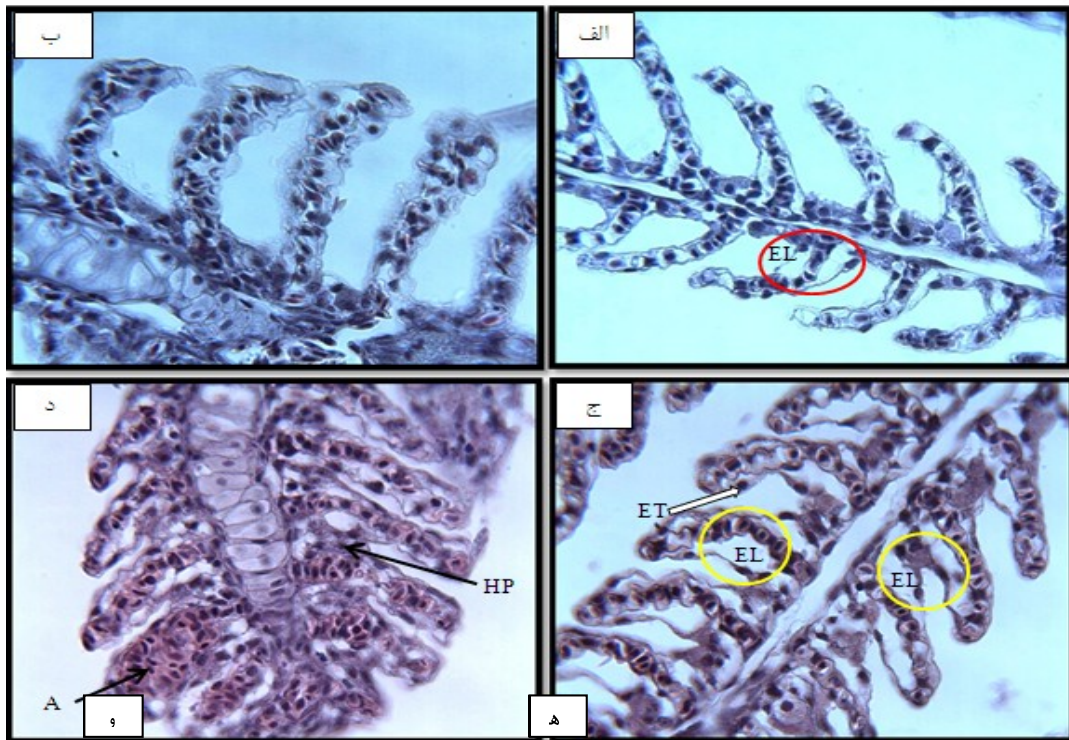
ب: بافت آبشنش نمونه تیمار با غلظت  $LC_{50}$  به مدت ۲۴ ساعت: برش طولی از رشته و تیغه‌های آبشنشی که در آن تورم و جداشدن اپیتلیال از غشاء پایه (EL) و هیپرپلازی سلولهای اپیتلیومی (HP) در پایه تیغه‌های آبشنشی بخوبی قابل مشاهده می‌باشد. (H & E, ob. ۱۰۰)

ج: بافت آبشنش نمونه تیمار با غلظت  $LC_{50}$  به مدت ۹۶ ساعت: پرخونی شدید در تیغه‌های آبشنشی (A) و اتصال آنها بهم بخوبی دیده می‌شود. (H & E, ob. ۱۰۰)

د: بافت آبشنش نمونه تیمار با غلظت  $LC_{50}$  به مدت ۹۶ ساعت: پرخون و متورم شدن تیغه‌های آبشنشی (A) و اتصال آنها بهم بخوبی دیده می‌شود. (H & E, ob. ۱۰۰)

ه: بافت آبشنش نمونه تیمار با غلظت  $LC_{50}$  به مدت ۹۶ ساعت: تورم و جدا شدن اپیتلیال از غشاء پایه (EL) در سطح وسیعی قابل رویت است. (H & E, ob. ۴۰)

و: بافت آبشنش نمونه تیمار با غلظت  $LC_{50}$  به مدت ۹۶ ساعت: هیپرتروفی سلولها و چسبیدن تیغه‌های آبشنشی بهم مشاهده می‌شود (F). (H & E, ob. ۱۰۰)



شکل ۲: بافت‌شناسی آبشنش بچه ماهیان سفید تیمار  $LC_{50}^0/1$

الف: بافت آبشنش نمونه تیمار با غلظت  $LC_{50}^0/1$  به مدت ۲۴ ساعت: تورم و جداشدن اپیتلیال از غشاء پایه (EL) در بعضی سطوح تیغه‌های آبشنش قابل مشاهده می‌باشد (H & E, ob. ۱۰۰).

ب: بافت آبشنش نمونه تیمار با غلظت  $LC_{50}^0/1$  به مدت ۲۴ ساعت: پرخونی و برهم خوردن ساختار تیغه‌های آبشنشی دیده می‌شود (H & E, ob. ۱۰۰).

ج: بافت آبشنش نمونه تیمار با غلظت  $LC_{50}^0/1$  به مدت ۹۶ ساعت: تورم و جداشدن اپیتلیال از غشاء پایه در سطح وسیع (دایره)، هایپرتروفی سلولهای اپیتلیومی

تیغه‌های آبشنشی (پیکان) را نشان می‌دهد (H & E, ob. ۱۰۰).

د: بافت آبشنش نمونه تیمار با غلظت  $LC_{50}^0/1$  به مدت ۹۶ ساعت: آئیوریسم (A) در تیغه‌های آبشنشی و همچنین هایپرپلازی (HP) بین تیغه‌ها را نشان می‌دهد (H & E, ob. ۱۰۰).

همچنین براساس داده‌های فوق شاید بتوان نتيجه گرفت که فنول و نفتول کشنده‌گی بيشتری نسبت به WSF بر ماهی سفيد دریای خزر دارند. شريفپور و همكاران (۱۳۸۷) با بررسی آسيب‌شناسي برخی اندام‌های مهم ماهی آزاد (*Salmo trutta caspius*) در حوزه جنوبی دریای خزر با تأکيد بر آلائينده‌ها، هيجونه ضایعه ميكروسكوبی بافتی در گند و عضله اين ماهیها مشاهده نکردند و بيان داشتند که اين امر ممکن است به اين دليل باشد که ارگان‌های هدف برای سموم و سایر آلائينده‌ها در وهله اول اندام‌های مهم و حياتی از جمله آبشش، كلیه و کبد می‌باشد که نقش اصلی را در تصفیه سم از بدن بعده دارند.

در مطالعه حاضر تغیيرات بافتی در آبشش بچه ماهی سفيد (*Rutilus frisii kutum*) قرار گرفته در معرض فاز محلول نفت خام مشاهده شد. همانطور که در بخش نتایج نشان داده شد از جمله علائم و آسيب‌های مشاهده شده می‌توان به تورم، هيپرتروفی و هيپرپلازی، چسبیدن رشته‌های ثانويه به يكديگر، پرخونی، خونریزی و جدا شدن اپيتيلال از غشاء پایه اشاره نمود. تغیيرات و ناهنجاري‌های بافتی رخ داده در آبشش اين بچه ماهیان با مشاهدات محققین ديگر در بررسی اثر سایر آلائينده‌ها مطابقت داشت. در بافت آبشش ماهی قزل‌آلای رنگين کمان (Oncorhynchus mykiss) قرار گرفته در معرض فاز محلول هيپرورکربنهای نفتی به مدت ۷، ۱۸ و ۳۰ روز، جدا شدن اپيتيلال از غشاء پایه تيغه‌های آبششی و هيپرتروفی سلولهای اپيتيلال آبشش در رشته‌ها و تيغه‌های آبششی مشاهده شده است (Rudolph *et al.*, 2001). در بافت آبشش *Prochilodus lineatus* ساكن رودخانه‌های مناطق شهری، آسيب‌هایي مانند جدا شدن اپيتيلال از غشاء پایه، هيپرپلازی و هيپرتروفی اپيتيلوم تيغه‌های آبششی، چسبندگی و يكى شدن تيغه‌های آبششی و آنوريسم (اتساع عروق) نشان داده شده است (Camargo & Martinez, 2007) (Khan, 1998) در آبشش *Pleuronectes americanus* كشك ماهی *Engelhardt* نزديك پاليشگاه نفت، هيپرپلازی در تيغه‌ها و فضاي بين تيغه‌های آبششی و جadasدن كامل اپيتيلال را مشاهده کرد. در قزل‌آلای رنگين کمان (*Onchorhynchus mykiss*) قرار گرفته در معرض تركيبات نفتی، ناهنجاري‌هایي در اپيتيلوم تيغه‌های آبششی و نشست نفت روی آبشش مشاهده شد (Engelhardt *et al.*, 1981). هيپرپلازی سلولهای پوششی و بهم چسبیدن تيغه‌های آبششی بعنوان پاسخ‌های مزمون عليه عفونت‌های

در آزمون  $t$  قطر رشته آبششی بين گروه شاهد و تيمار  $LC_{50} = ۹۶$  ساعت،  $P = ۰/۰۰۰$  محاسبه شد در نتيجه اختلاف معنی‌داری بين دو تيمار وجود دارد ( $P < ۰/۰۵$ ).

با انجام آزمون Independent t-test غيرجفتی و مقایسه داده‌های حاصل از اندازه‌گيري قطر تيغه آبششی با استفاده از نرمافزار Image tool، معنی‌داری اختلاف بين تيمارها با گروه شاهد مشخص شد. بين گروه شاهد و تيمار  $LC_{50} = ۲۴$  ساعت  $LC_{50} = ۰/۱$  محاسبه شد در نتيجه اختلاف معنی‌داری بين دو تيمار وجود نداشت ( $P > ۰/۰۵$ ). بين گروه شاهد و تيمار  $LC_{50} = ۹۶$  ساعت  $LC_{50} = ۰/۰۱$  محاسبه شد در نتيجه اختلاف معنی‌داری بين دو تيمار وجود نداشت ( $P < ۰/۰۵$ ).

بين گروه شاهد و تيمار  $LC_{50} = ۲۴$  ساعت،  $P = ۰/۰۰۱$  محاسبه شد و در نتيجه اختلاف معنی‌داری بين دو تيمار وجود دارد ( $P < ۰/۰۵$ ).

بين گروه شاهد و تيمار  $LC_{50} = ۹۶$  ساعت،  $P = ۰/۰۰۰$  محاسبه شد در نتيجه اختلاف معنی‌داری بين دو تيمار وجود دارد ( $P < ۰/۰۵$ ).

آناليز one-way ANOVA و تست Tukey نشان داد که بين تيمار  $LC_{50} = ۹۶$  ساعت در اندازه قطر رشته و تيغه‌های آبششی با تيمار شاهد، تيمار  $LC_{50} = ۰/۱$  و تيمار  $LC_{50} = ۹۶$  ساعت  $LC_{50} = ۰/۱$  اختلاف معنی‌داری وجود دارد اما بين تيمار  $LC_{50} = ۹۶$  ساعت و  $LC_{50} = ۲۴$  ساعت در قطر رشته و تيغه آبششی اختلاف معنی‌داری وجود ندارد ( $P > ۰/۰۵$ ).

## بحث

غلظت‌های متفاوت فاز محلول در آب نفت خام (WSF) در ساعات اولیه آزمایش، عوارض شدیدی بر اندام‌های بچه ماهی سفيد دریای خزر با طولی در حدود ۴ تا ۶ سانتيمتر و وزنی حدود ۱ تا ۲ گرم، در محیط آب شیرین نشان داد. در این تحقيق  $LC_{50} = ۹۶$  ساعت فاز محلول در آب نفت خام به روش نيمه پايدار،  $۳۳/۹۵ ppm$  محاسبه شد. در سال ۱۳۸۲ شريعتي و همكاران، با آزمایش تعیین سمیت و  $LC_{50}$  فنول و ۱-نفتول روی ماهیان انگشت قد سیم و سفید،  $LC_{50} = ۹۶$  ساعت فنول را برای ماهی سفید  $۲۱/۵۹$  و برای سیم  $۲۵/۱۹$  و  $LC_{50} = ۹۶$  ساعت ۱-نفتول برای ماهی سفید را  $۲/۱۵$  و برای سیم  $۲/۸۵$  قسمت در ميليون محاسبه کردند و بيانگر آن است که ماهی سفید در برابر فنول و ۱-نفتول حساس‌تر از ماهی سیم می‌باشد.

ماهیان سفید دارند، که این امر می‌بایست در برنامه‌ریزی‌های زیست محیطی مورد توجه قرار گیرد.

## منابع

ابطحی، ب؛ بهمنی، م؛ شریفپور، ع؛ اسماعیلی ساری، ع؛ کاظمی، ر. و حلاجیان، ع.، ۱۳۸۶. بررسی آثار هیستوپاتولوژیک ناشی از عوامل زیست محیطی دریای خزر بر ماهیان خاویاری. مؤسسه تحقیقات شیلات ایران. ۵۵ صفحه.

شریعتی، ف؛ اسماعیلی ساری، ع. و پیری، م.، ۱۳۸۲. تعیین سمیت و  $LC_{50}$  فل و ۱-نفتول روی ماهیان سیم و سفید. مجله علمی شیلات ایران، سال دوازدهم، شماره ۴، زمستان ۱۳۸۲، صفحات ۵۷ تا ۶۸.

شریفپور، ع.، رضوانی گیل کلایی، س. و کاظمی، ر.، ۱۳۸۹. آسیب‌شناسی برخی اندامهای مهم ماهیان سوف (Sander) از تأثیر *Salmo trutta caspius* (lucioperca) و آزاد (A. lucioperca) در حوضه جنوبی دریای خزر با تأکید بر آلاینده‌ها. مجله علمی شیلات ایران، سال نوزدهم، شماره ۴، زمستان ۱۳۸۹، صفحات ۷۷ تا ۸۶.

**Akaishi F.M., Silva de Assis H.C., Jakobi S.C.G., Eiras-Stofella D.R., St-Jean S.D., Courtenay S.C., Lima E.F., Wagener A.L.R., Scofield A.L. and Oliveira Ribeiro C.A., 2004.** Morphological and neurotoxicological findings in tropical freshwater fish (*Astyanax* sp.) after waterborne and acute exposure to water soluble fraction (WSF) of crude oil. Archives of Environmental Contamination and Toxicology, 46:244–253.

**Altinok I. and Capkin E., 2007.** Histopathology of rainbow trout exposed to sublethal concentrations of methiocarb or endosulfan. Toxicologic Pathology, 35:405–410.

**Anderson J.W., Neff J.M., Cox B.A, Tatem H.E. and Hightower G.M., 1974.** Characteristics of dispersions and water-soluble extracts of crude and refined oils and their toxicity to estuarine crustaceans and fish. Marine Biology, 27:75-88.

میکروبی و انگلی یا تحریکات شیمیایی می‌باشد (ابطحی و همکاران، ۱۳۸۶). در مطالعه حاضر نمونه‌های در معرض غلظت  $0/1LC_{50}$  ۰۰۰ پس از ۲۴ ساعت تغییرات اندکی را در بافت آبشش نشان دادند که از جمله تغییرات مشاهده شده در این تیمار می‌توان به جدا شدن اپیتیلیال از غشاء پایه و همچنین تورم و پرخونی در تعداد محدودی از تیغه‌های آبششی اشاره نمود. با گذشت ۹۶ ساعت و افزایش زمان قرار گرفتن ماهی در معرض فاز محلول در آب نفت خام، آسیب‌ها شدیدتر شده و تعداد بیشتری از تیغه‌های آبششی آسیب دیده و جدا شدن اپیتیلیال از غشاء پایه و پرخونی در سطح وسیعتری از تیغه‌های آبششی، رخداد که نشان می‌دهد با افزایش زمان قرار گرفتن در معرض آلاینده، آسیب‌های وارد آنچنان که قبل انتظار است شدیدتر می‌شود. در آبشش بچه ماهیان در معرض غلظت  $LC_{50}$  بدليل بالا بودن آلاینده در ۲۴ ساعت اول عارض شدید مشاهده می‌شود و با گذشت زمان تا ۹۶ ساعت این آسیب‌ها افزایش می‌یابد اما از لحاظ آماری (آزمون one-way ANOVA) این اختلاف معنی‌دار نمی‌باشد که نشان‌دهنده آن است که غالباً آلاینده بر بچه ماهی سفید دریای خزر در ساعات اولیه در معرض قرارگیری به شدت مخرب خواهد بود. در مجموع نتایج آزمونهای آماری بیانگر این امر است که با افزایش زمان قرار گرفتن ماهی در معرض آلاینده و همچنین افزایش غلظت فاز محلول در آب نفت خام، قطر تیغه‌ها و قطر رشته‌های آبششی افزایش می‌یابد. این افزایش قطر ممکن است به چند دلیل عمدۀ از جمله، هیپرتروفی سلولهای اپیتیلیال آبششی؛ هایپرپلازی سلولها در سطح رشته و تیغه‌های آبششی؛ پرخون شدن اپیتیلیال از تیغه‌های آبششی و رخداد آبیوریسم و قدر رشته‌ها افزایش می‌یابد. تحقیق حاضر مانند سایر تحقیقات انجام شده، اهمیت آسیب‌شناسی را بعنوان یکی از ساختهای زیستی مهم در ارزیابی سمیت آلاینده‌ها، مخصوصاً در دوره حاد قرار گرفتن در معرض آلاینده‌ها مانند نشت نفت در محیط‌های طبیعی، تأیید می‌کند. بررسی نتایج مطالعه حاضر و مقایسه آن با نتایجی که سایر محققین بدست آورده‌اند نشان می‌دهد که بچه ماهی سفید دریای خزر نسبت به آلودگی فاز محلول در آب نفت خام حساس بوده و با قرار گرفتن در معرض آن به شدت آسیب می‌پذیرد. با در نظر گرفتن احتمال فراوان و قوع آلودگی نفتی در بسیاری از سواحل خزر از جمله مناطق نوزادگاهی، این آلاینده‌ها قابلیت اعمال اثر بر عملکرد زیستی و اندامهای مهم و حیاتی بچه

- Camargo M.M.P. and Martinez C.B.R., 2007.** Histopathology of gill, kidney and liver of a neotropical fish caged in an urban stream neotropical. *Ichthyology*, 5(3):327-336.
- Chang S., Zdanowicz V.S. and Murchelano R.A., 1998.** Associations between liver lesions in winter flounder (*Pleuronectes americanus*) and sediment chemical contaminants from north-east United States estuaries. *ICES Journal of Marine Science*, 55:954-969.
- Dede E.B. and Kaglo H.D., 2001.** Aquatoxicological effects of water soluble fractions (WSF) of diesel fuel on *O. Niloticus* fingerlings. *Journal of Applied Science and Environmental Management*, 5(1):93-96.
- Engelhardt F.R., Wong M.P. and Duey M.E., 1981.** Hydro mineral balance and gill morphology in rainbow trout (*Salmo gairdneri*), acclimated to fresh and sea water as affected by petroleum exposure. *Aquatic Toxicology*, 1:175-186.
- Evans D.H., 1993.** (Ed.). *The physiology of fishes*. CRC Press, Boca Raton, FL, pp.157-176.
- Evans D.H., Piermarini P. M. and Choe K. P., 2005.** The multifunctional fish gill: Dominant site of gas exchange, osmoregulation, acid-base regulation, and excretion of nitrogenous waste. *Physiological Reviews*, 85:97-177.
- Finney D.J., 1978.** Statistical method in biological assay. Griffin, London, UK. 508P.
- Gerenhofer M., Pawet M., Schramm M., Muller E. and Triebeskorn R., 2001.** Ultrastructural biomarkers as tools to characterize the health status of fish in contaminated streams. *Journal of Aquatic Ecosystem Stress and Recovery*, 8: 241-260.
- Heyrati F.P., Mostafavi H., Tolooe H. and Dorafshan S., 2007.** Induced spawning of kutum, *Rutilus frisii kutum* using (D-Ala6, Pro9-NEt) GnRHa combined with domperidone. *Aquaculture*, 265:288-293.
- Khan R.A., 1998.** Influence of petroleum at a refinery terminal on winter flounder, (*Pleuronectes americanus*). *Bulletin of Environmental Contamination and Toxicology*, 61:770-777.
- Khodabandeh S. and Golzari A., 2006.** Immunolocalization of  $\text{Na}^+$ ,  $\text{K}^+$ -ATPase in the branchia cavity of *palaemon elegans* (Decapoda, Crustacea) and effects of mercury on  $\text{Na}^+,\text{K}^+$ -ATPase immunoreactivity. *Integr. Comparative Biochemistry and Physiology*, 45B:1153-1161.
- Nero V., Farwell A., Lister A., Kraak G.V.D., Lee L.E.J., Meer, T.V., Mackinnon, M.D. and Dixon D.G., 2006.** Gill and liver histopathological change in yellow perch (*Perca flavescens*) and gold fish (*Carassius auratus*) exposed to oil sands process-affected water. *Ecotoxicology and Environmental Safety*, 63:366-377.
- OECD Council, 1992.** OECD guideline for testing of chemicals (fish, Acute toxicity tests). 90P.
- Pacheco M. and Santos M.A., 2001.** Biotransformation, endocrine, and genetic responses of (*Anguilla anguilla*) to petroleum distillate products and environmentally contaminated waters. *Ecotoxicology and Environmental Safety*, 49:64-75.
- Roberts R.J., 2001.** *Fish Pathology*, 3rd ed. W.B. Saunders Co. Philadelphia, PA., USA. 472P.

- Rudolph A., Yanez R. and Troncoso L., 2001.** Effects of exposure of *Oncorhynchus mykiss* to the water accommodated fraction of petroleum hydro-carbons. Bulletin and Toxicology, 66:400–406.
- Schwaiger J., Wanke R., Adam S., Pawert M., Honnen W. and Triebeskorn R., 1997.** The use of histopathological indicators to evaluate contaminant-related stress in fish. Journal of Aquatic Ecosystem Stress and Recovery, 6:75-86.
- Silva A.G. and Martinez G.B.R., 2007.** Morphological changes in the kidney of a fish living in an urban stream. Environmental Toxicology and Pharmacology, 23:185–192
- Simonto J.D., Guedes C.L.B. and Martinez C.B.R., 2008.** Biochemical, physiological, and histological changes in the neotropical fish, *Prochilodus lineatus*, exposed to diesel oil. Ecotoxicology and Environmental Safety, 69:112–120
- Walker C.H., Hopkin S.P., Sibly R.M. and Peakali S.M., 1996.** Principles of Ecotoxicology, 321P.

## Experimental assessment of the histopathological effects of water-soluble fraction of crude oil on gill tissue of juvenile *Rutilus frisii kutum*

**Sharifpour I.<sup>(1)\*</sup>; Abtahi B.<sup>(2)</sup>; Heidary Jamebozorgi F.<sup>(3)</sup>; Seyfabadi S.J.<sup>(4)</sup> and Taghizadeh, R.Z.<sup>(5)</sup>**

isharifpour@yahoo.com

1- Iranian Fisheries Research Organization, P.O.Box: 14155-6116 Tehran, Iran

2- Faculty of Biological Sciences, Shahid Beheshti University, Tehran, Iran

3,4,5- Faculty of Natural Resources and Marine Sciences, Tarbiat Modares University,  
P.O.Box: 46414-356 Noor, Iran

Received: February 2010

Accepted: February 2011

**Keywords:** Histopathology, Water-soluble fraction, Gill, *Rutilus frisii kutum*, Caspian Sea

### Abstract

The toxic effects of water soluble fraction (WSF) of crude oil on the gills of juvenile kutum roach, *Rutilus frisii kutum*, were investigated. The juvenile (1-2g) kutum roach were collected in summer 2008 from the Kolmeh Hatchery Center, Golestan province, and acclimatized to laboratory conditions through keeping them in a 300 liter tank with de-chlorinated water for a minimum of 8 days. Six different types of WSF concentrations were made to obtain LC<sub>50</sub>96h including 27, 29.25, 31.5, 33.75, 36 and 38.25ppm. Then, 10 fingerlings of *R. frisii kutum* were exposed to the WSF concentrations, for 96 hours. Considering mortality rate of the juveniles in 96 hours and using Probit value statistical analysis, LC<sub>50</sub>96h was obtained at 33.95ppm. Two different concentrations (0.1 LC<sub>50</sub> and LC<sub>50</sub>) of WSF were prepared for further assessments and after 24 and 96h of exposure, 3 individual fish were collected from each aquarium for histopathological studies. The gill sections with 3 micron thickness were prepared, stained using H & E, and examined by light microscope. General damages after observation included: Epithelial lifting, congestion in filament and lamellae, clubbing, fusion, hypertrophy of epithelial cells of lamellae, different levels of hyperplasia between lamella and aneurysms. Pathological studies showed that the WSF of crude oil causes serious damage in gills of juvenile *R. frisii kutum*, leads to malfunction of this organ which will harm homeostasis of the fish.

---

\* Corresponding author